

دانشگاه صنعتی خواجه نصیرالدین طوسی

دانشگاه علوم

پایان نامه برای اخذ درجه کارشناسی ارشد در شرکت فنریک کرایش هسته ای کاربردی

عنوان:

طراحی و بهینه سازی طیف حاصل از مولدهای نوترون D-T با

استفاده از مواد شکافت پذیر جهت استفاده در BNCT

دانشجو:

فاطمه سادات رسولی

استاد راهنما:

دکتر سید فرهاد مسعودی

مشاور:

مهندس یاسر کاسه ساز

۱۳۹۰ آذرماه

لهم إلهي
إله المسلمين
أنت أرحم الراحمين

تعدیم به مادرم

په پاس عاطفه سی سرشار و گرمای امید بخش وجودش

که بهترین پسپیان است

و سرگردانی و ترس در پناہش به شجاعت می گراید

با سپاس بی پایان از استاد بزرگوارم

جناب آقا مسعودی

که راهنمایی‌هایی ارزشمند شده‌واره چراغ را بهم بود
ولذت و غرور داشتن، جسارت خواستن، عظمت رسیدن و تمام تجربه‌های یکتاوی این مسیر،
میون حضور سبزراو است.

و با مشکل و قدردانی از زحات بی دریغ و راهنمایی‌های

جناب آقا مسعود کاسه‌ساز

که قدم به قدم در تمام مرافق این پژوهش مرایاری نمود

چکیده

روشی مؤثر برای درمان تومورهای مغزی است که اساس آن بر واکنش $^{10}\text{B}(\text{n},\alpha)^7\text{Li}$ BNCT استوار است. این روش شامل دو مرحله‌ی جانشانی حامل‌های بور در تومور و سپس بمباران ناحیه‌ی تومور بوسیله‌ی نوترون‌های با انرژی و شدت مناسب است. نوترون‌های مناسب برای درمان تومورهایی مثل گلیوبلاستوما مولتی‌فرم، که در قسمت‌های عمقی مغز رشد می‌کنند، نوترون‌هایی با انرژی فوق‌گرمایی و با شار $10^9 \text{n/cm}^2\text{s}$ هستند.

در حال حاضر برای BNCT، از راکتورها به عنوان چشممه‌ی نوترون استفاده می‌شود. با این حال مولدات‌های نوترون D-T که نوترون‌هایی با انرژی $14/1 \text{ MeV}$ بر اساس واکنش همجوشی تولید می‌کنند، به دلیل مزایای زیادی که دارند، گزینه‌ی مناسبی برای استفاده در BNCT به شمار می‌آیند. برای کاهش انرژی نوترون‌های تولید شده از این چشممه‌ها تا ناحیه‌ی مطلوب فوق‌گرمایی، از مجموعه‌ی شکل‌دهنده‌ی طیف (BSA) استفاده می‌گردد و باید طوری طراحی شود که نوترون‌ها پس از عبور از آن دارای انرژی و شدت مناسب برای استفاده در BNCT باشند. عموماً پس از طراحی طیف و رسیدن به حالت بهینه، شار نوترون‌ها به شدت کاهش می‌باید. لذا اتخاذ تدبیری جهت افزایش شار نوترون از اهمیت زیادی برخوردار است. در این پژوهه امکان استفاده از اورانیوم، که از طریق واکنش شکافت منجر به افزایش تعداد نوترون‌های گسیل شده از چشممه می‌گردد، به عنوان تکثیرکننده برای چشممه‌ی D-T مورد بررسی قرار گرفته و بهترین شرایط برای دستیابی به بیشترین افزایش شار مطالعه شده است. در ادامه تلاش شده است تا با انتخاب ترکیب و ضخامت‌های مختلفی از مواد به عنوان کندساز، فیلتر نوترون‌های سریع، فیلتر نوترون‌های گرمایی، فیلتر گاما، بازتابنده و موادی ساز، شار مناسبی از نوترون‌های فوق‌گرمایی با کمترین مقدار آلودگی پرتو را در دهانه‌ی خروجی BSA داشته باشیم. همچنین با محاسبه‌ی دوز ناشی از طیف‌های طراحی شده بر روی فانتوم سر شبیه‌سازی شده، کیفیت طیف مورد مطالعه قرار گرفته است.

کد محاسباتی MCNP برای طراحی و بهینه سازی سیستم و محاسبات دزیمتري مورد استفاده قرار گرفته است.

فهرست مطالب

صفحه.....	عنوان.....
فصل اول: روش‌های درمان تومورهای مغزی	
۱.....	فصل اول: روش‌های درمان تومورهای مغزی
۲.....	۱-۱) آناتومی مغز
۳.....	۱-۱-۱) مخ
۵.....	۱-۱-۲) مخچه
۵.....	۱-۱-۳) ساقه‌ی مغز
۶.....	۱-۲) تومور
۹.....	۱-۳) گلیوبلاستوما مولتی فرم
۱۰.....	۱-۴) روش‌های درمانی
۱۰.....	۱-۴-۱) عمل جراحی
۱۱.....	۱-۴-۲) شیمی درمانی
۱۲.....	۱-۴-۳) پرتو درمانی
۱۶.....	۱-۴-۴) دارو درمانی هدف دار
۱۶.....	۱-۴-۵) درمان‌های کمکی
۱۷.....	۱-۵) روش BNCT
۱۷.....	۱-۵-۱) اصول و تاریخچه
۲۵.....	۱-۵-۲) انرژی نوترون‌های مورد استفاده در BNCT
۲۶.....	۱-۵-۳) معیارهای مورد استفاده در BNCT برای ارزیابی طیف
۳۰.....	۱-۶) GdNCT
فصل دوم: چشممه‌های نوترون متداول مورد استفاده در BNCT	
۳۱.....	۲-۱) مقدمه
۳۲.....	۲-۱-۱) مقدمه

۳۲.....	۲-۲) راکتورهای هسته‌ای
۴۱.....	۳-۲) چشم‌های شکافت خودبخودی
۴۳.....	۴-۲) چشم‌های شتابدهنده
۴۵.....	۵-۲) مولدهای نوترون

فصل سوم: طراحی و بهینه‌سازی مجموعه‌ی شکل‌دهنده‌ی طیف

۴۹.....	۳-۱) مقدمه‌ای بر طراحی طیف برای استفاده در BNCT
۵۰.....	۳-۲) طراحی و بهینه‌سازی BSA با استفاده از کد MCNP
۵۳.....	۳-۲-۱) تکثیرکننده‌ی نوترون
۵۳.....	۳-۲-۲) واکنش شکافت
۵۵.....	۳-۲-۳) انتخاب تکثیرکننده‌ی مناسب
۶۰.....	۳-۲-۴) تعیین هندسه‌ی تکثیرکننده‌ی نوترون
۶۴.....	۳-۲-۵) تعیین مکان بهینه برای قرارگیری چشم‌های نوترون
۶۵.....	۳-۲-۶) کندساز
۸۷.....	۳-۲-۷) فیلتر نوترون‌های سریع
۹۰.....	۳-۲-۸) فیلتر نوترون‌های گرمایی
۹۲.....	۳-۲-۹) بازتابنده و موازی‌ساز
۹۳.....	۳-۲-۱۰) فیلتر گاما
۹۸.....	۳-۳) بررسی اثر استفاده از فیلتر در طراحی BSA بر روی طیف نوترون و پارامترهای in-air
۱۰۰.....	۳-۴) اعمال تغییرات روی BSA نهایی و بررسی پارامترهای in-air
۱۰۸.....	۳-۵) طراحی جدید برای BSA و بررسی میزان واگرایی پرتو خروجی

فصل چهارم: محاسبه‌ی دوز با استفاده از فلتوم شبیه‌سازی شده

۱۱۴.....

۱۱۵.....	۱-۴) مقدمه
۱۱۵.....	۲-۴) مؤلفه‌های دوز در BNCT
۱۱۷.....	۳-۴) پارامترهای in-phantom
۱۱۸.....	۴-۴) فانتوم شبیه‌سازی شده
۱۱۹.....	۴-۴) محاسبه‌ی پارامترهای in-phantom برای BSA های طراحی شده
۱۱۹.....	۴-۴) ۱) نمودارهای دوز و پارامترهای in-phantom برای پیکربندی (a)
۱۲۱.....	۴-۴) ۲) نمودارهای دوز و پارامترهای in-phantom برای پیکربندی (b)
۱۲۳.....	۴-۴) ۳) نمودارهای دوز و پارامترهای in-phantom برای پیکربندی (f)
۱۲۶.....	۴-۴) ۴) بررسی اثر فاصله‌ی قرارگیری فانتوم از دهانه‌ی خروجی BSA بر نمودارهای دوز
۱۲۸.....	۴-۴) ۵) بررسی اثر همگرایی پرتو بر دوز رسیده به بافت سالم اطراف تومور
۱۲۸.....	۴-۴) ۶) بررسی دوز کل رسیده به تومور و بافت سالم در طی زمان
۱۲۸.....	۴-۴) ۷) درمان برای طیف ناشی از پیکربندی‌های (e) و (f)
۱۲۹.....	۴-۴) ۸) بررسی اثر فاصله‌ی قرارگیری فانتوم از دهانه‌ی خروجی
۱۲۹.....	۴-۴) ۹) بر روی دوز عرضی برای طیف ناشی از دو پیکربندی (e) و (f)
۱۳۱.....	۴-۴) ۱۰) نمایش سه‌بعدی از توزیع انرژی برای دو طیف حاصل
۱۳۱.....	۴-۴) ۱۱) از پیکربندی‌های (e) و (f)
۱۳۱.....	۴-۴) ۱۲) بررسی اثر مکان تومور بر روی دوز رسیده به فانتوم
۱۳۴.....	۴-۴) ۱۳) بررسی اثر غلظت‌های مختلف B^{10} در تومور و بافت سالم بر روی دوز دریافتی
۱۳۵.....	۴-۴) ۱۴) بحث و نتیجه‌گیری
۱۳۷.....	۴-۴) ۱۵) پیشنهادهایی برای ادامه‌ی کار
۱۳۸.....	۴-۴) ۱۶) لیست مقالات چاپ شده مستخرج از پایان‌نامه
۱۳۹.....	۴-۴) ۱۷) پیوست الف: سطح مقطع مواد پیشنهاد شده به عنوان کنديساز
۱۴۹.....	۴-۴) ۱۸) مراجع

فهرست شکل‌ها

عنوان شکل صفحه	
شکل ۱-۱: ساختار مغز ۲	
شکل ۱-۲: قسمت‌های اصلی مغز شامل مخ، مخچه و ساقه‌ی مغز ۳	
شکل ۱-۳: ساختار نیمکره‌های مغز ۴	
شکل ۱-۴: مخ، مخچه و ساقه‌ی مغز ۶	
شکل ۱-۵: فرایند ایجاد تومور ۶	
شکل ۱-۶: تشکیل تومور در اثر تقسیم خارج از کنترل سلول‌ها ۸	
شکل ۱-۷: تصاویر MRI مربوط به بیمار مبتلا به گلیوبلاستوما مولتی‌فرم ۱۰	
شکل ۱-۸: دستگاه پرتودرمانی ۱۴	
شکل ۱-۹: واکنش $^{10}\text{B}(\text{n},\alpha)^7\text{Li}$ که اساس BNCT برآن استوار است ۱۹	
شکل ۱-۱۰: حضور بور-۱۰ در نزدیکی هسته‌ی سلول سرطانی و گیراندازی نوترون گرمایی، باعث شکسته شدن DNA و مرگ سلول می‌شود ۲۰	
شکل ۱-۱۱: واکنش اساسی انجام شده در روش BNCT که منجر به تولید دو ذره‌ی پرانرژی ^7Li و آلفا می‌شود ۲۱	
شکل ۱-۱۲: واکنش انجام شده در مغز برای درمان تومور به روش BNCT ۲۲	
شکل ۱-۱۳: ترکیب شیمیایی داروهای حامل بور برای استفاده در BPA ۲۳	
شکل ۱-۱۴: مقایسه‌ی توزیع شار نوترون‌های فوق‌گرمایی بر حسب عمق فانتوم شبیه‌سازی شده برای باریکه‌ی فرویدی گرمایی، فوق‌گرمایی و سریع ۲۵	
شکل ۱-۱۵: کره و تیغه‌ی ICRU ۲۹	
شکل ۱-۱۶: نمونه‌ای از فانتوم‌های واقعی و شبیه‌سازی شده ۲۹	
شکل ۲-۱: نمایی از راکتور تحقیقات پزشکی بروکهاون (BMRR) ۳۳	
شکل ۲-۲: تجهیزات مربوط به BNCT در راکتور تحقیقاتی FiR 1 ۳۴	

- شکل ۲-۳: تجهیزات مربوط به BNCT در راکتور تحقیقاتی HFR ۳۵.....
- شکل ۲-۴: کندسازها و فیلترهای بکار رفته در تجهیزات BNCT در راکتور BNCT ۳۵.....
- شکل ۲-۵: راکتور تحقیقاتی MIT و اتاق درمان BNCT ۳۷.....
- شکل ۲-۶: موقعیت بیمار در اتاق درمان BNCT مربوط به راکتور تحقیقاتی MIT، سر بیمار بوسیله ماسک در مکان مورد نظر ثابت نگه داشته می شود. ۳۷.....
- (A) تابش عرضی. (B) تابش از بالا.....
- شکل ۲-۷: تجهیزات مربوط به BNCT در راکتور JRR-4 ۳۹.....
- شکل ۲-۸: نمودار روند تغییرات درمان های انجام شده به روشن BNCT در راکتور JRR-4 ۳۹.....
- شکل ۲-۹: دهانه خروجی راکتور WSU جهت استفاده در BNCT ۴۰.....
- شکل ۲-۱۰: مقایسه طیف نوترون جهت استفاده در BNCT برای ۸ راکتور: MIT-FCB .FiR 1 (B .Petten و KURRI .BMRR .FiR 1 ۴۲.....
- شکل ۲-۱۱: توزیع انرژی نوترون های گسیل شده از واکنش $^{7}\text{Li}(\text{p},\text{n})^{7}\text{Be}$ ۴۴.....
- شکل ۲-۱۲: توزیع انرژی نوترون های گسیل شده از واکنش $^{9}\text{Be}(\text{d},\text{n})^{10}\text{B}$ ۴۴.....
- شکل ۲-۱۳: سطح مقطع واکنش های همجوشی D-T و D-D ۴۶.....
- شکل ۲-۱۴: طرح اساسی از یک چشمی یون ۴۷.....
- شکل ۳-۱: BSA طراحی شده برای راکتور MIT ۵۱.....
- شکل ۳-۲: BSA طراحی شده برای یک چشمی نوترون D-T ۵۲.....
- شکل ۳-۳: BSA طراحی شده برای چشمی ^{252}Cf ۵۲.....
- شکل ۳-۴: طرحی از یک واکنش شکافت ۵۴.....
- شکل ۳-۵: سطح مقطع شکافت برای اورانیوم-۲۳۸ و اورانیوم-۲۳۵ ۵۵.....
- شکل ۳-۶: مقدار $\frac{N}{N_0}$ بر حسب شعاع های مختلف کره ای اورانیوم طبیعی N N_0

- به عنوان تکثیرکنندهی نوترون ۵۶
- شکل ۳-۷: سطح مقطع جذب نوترون برای اورانیوم طبیعی که بوسیلهی
کد MCNP رسم شده است ۵۶
- شکل ۳-۸: مقدار $\frac{N}{N_0}$ بر حسب شعاع‌های مختلف برای اورانیوم طبیعی،
سرب و بیسیمoot به عنوان تکثیرکنندهی نوترون چشمی ۵۷
- شکل ۳-۹: مقدار $\frac{N}{N_0}$ بر حسب شعاع های مختلف برای اورانیوم طبیعی
و ۱ تا ۵ درصد غنی شده به عنوان تکثیرکنندهی نوترون چشمی D-T ۵۸
- شکل ۳-۱۰: مقدار $\frac{N}{N_0}$ بر حسب شعاع‌های مختلف برای اورانیوم ۲۰ درصد
غنى شده به عنوان تکثیرکنندهی نوترون چشمی D-T ۵۸
- شکل ۳-۱۱: مقدار $\frac{N}{N_0}$ بر حسب شعاع‌های مختلف برای اورانیوم طبیعی
و ۱ تا ۵ درصد غنی شده به عنوان تکثیرکنندهی نوترون چشمی D-D ۵۹
- شکل ۳-۱۲: مقدار $\frac{N}{N_0}$ بر حسب شعاع‌های مختلف برای اورانیوم ۲۰ درصد
غنى شده به عنوان تکثیرکنندهی نوترون چشمی D-D ۶۰
- شکل ۳-۱۳: مقدار $\frac{N}{N_0}$ بر حسب شعاعها و طول‌های مختلف اورانیوم طبیعی
برای سه هندسه‌ی کروی، هندسه‌ی استوانه‌ای با شعاع ثابت و هندسه‌ی
استوانه‌ای با طول ثابت به عنوان تکثیرکنندهی نوترون برای چشمی D-T ۶۱
- شکل ۳-۱۴: تعداد نوترون‌های فوق‌گرمایی بر حسب شعاعها و طول‌های مختلف
اورانیوم طبیعی برای سه هندسه‌ی کروی، استوانه‌ای با شعاع ثابت و استوانه‌ای
با طول ثابت به عنوان تکثیرکنندهی نوترون برای چشمی D-T ۶۲
- شکل ۳-۱۵: مقدار $\frac{N}{N_0}$ بر حسب طول‌های مختلف اورانیوم طبیعی برای هندسه‌ی
استوانه‌ای با طول ثابت به عنوان تکثیرکنندهی نوترون برای چشمی D-T ۶۳
- شکل ۳-۱۶: مقدار $\frac{N}{N_0}$ بر حسب مکان قرارگیری چشمی نوترون D-T ۶۴
- شکل ۳-۱۷: برخورد کشسان دو ذره با جرم‌های m_1 و m_2 در مختصات آزمایشگاهی ۶۷

- شکل ۳-۱۸: برخورد کشسان دو ذره با جرم‌های m_1 و m_2 در مختصات مرکز جرم ۶۷
- شکل ۳-۱۹: برخورد کشسان دو ذره با جرم‌های m_1 و m_2 در مختصات آزمایشگاهی ۶۸
- شکل ۳-۲۰: شار نوترون‌های فوق‌گرمایی بر حسب ضخامت‌های مختلف ۱۷ ماده‌ی پیشنهاد شده به عنوان کندساز ۷۵
- شکل ۳-۲۱: $\varphi_{\text{epi}}/\varphi_{\text{fast}}$ بر حسب ضخامت‌های مختلف ۱۷ ماده‌ی پیشنهاد شده به عنوان کندساز ۷۵
- شکل ۳-۲۲: شار نوترون‌های فوق‌گرمایی برای ۹ ماده‌ی مختلف به عنوان کندساز دوم در حالتی که کندساز اول ۲۸ سانتیمتر Fluental انتخاب شده است ۷۷
- شکل ۳-۲۳: $\varphi_{\text{epi}}/\varphi_{\text{fast}}$ برای ۹ ماده‌ی مختلف به عنوان کندساز دوم در حالتی که کندساز اول ۲۸ سانتیمتر Fluental انتخاب شده است ۷۷
- شکل ۳-۲۴: شار نوترون‌های فوق‌گرمایی برای ۹ ماده‌ی مختلف به عنوان کندساز دوم در حالتی که کندساز اول ۲۸ سانتیمتر AlF₃ انتخاب شده است ۷۸
- شکل ۳-۲۵: $\varphi_{\text{epi}}/\varphi_{\text{fast}}$ برای ۹ ماده‌ی مختلف به عنوان کندساز دوم در حالتی که کندساز اول ۲۸ سانتیمتر AlF₃ انتخاب شده است ۷۸
- شکل ۳-۲۶: شار نوترون‌های فوق‌گرمایی برای ۹ ماده‌ی مختلف به عنوان کندساز دوم در حالتی که کندساز اول ۲۳ سانتیمتر Al₂O₃ انتخاب شده است ۷۹
- شکل ۳-۲۷: $\varphi_{\text{epi}}/\varphi_{\text{fast}}$ برای ۹ ماده‌ی مختلف به عنوان کندساز دوم در حالتی که کندساز اول ۲۳ سانتیمتر Al₂O₃ انتخاب شده است ۷۹
- شکل ۳-۲۸: شار نوترون‌های فوق‌گرمایی برای ۹ ماده‌ی مختلف به عنوان کندساز دوم در حالتی که کندساز اول ۲۳ سانتیمتر MgF₂ انتخاب شده است ۸۰
- شکل ۳-۲۹: $\varphi_{\text{epi}}/\varphi_{\text{fast}}$ برای ۹ ماده‌ی مختلف به عنوان کندساز دوم در حالتی که کندساز اول ۲۳ سانتیمتر MgF₂ انتخاب شده است ۸۰
- شکل ۳-۳۰: شار نوترون‌های فوق‌گرمایی برای ۹ ماده‌ی مختلف به عنوان کندساز دوم در حالتی که کندساز اول ۱۴ سانتیمتر BeO انتخاب شده است ۸۱

- شکل ۳-۳۱: $\varphi_{\text{epi}}/\varphi_{\text{fast}}$ برای ۹ ماده‌ی مختلف به عنوان کندساز دوم در حالتی که کندساز اول ۱۴ سانتیمتر BeO انتخاب شده است.....۸۱
- شکل ۳-۳۲: شار نوترون‌های فوق‌گرمایی برای ۹ ماده‌ی مختلف به عنوان کندساز دوم در حالتی که کندساز اول ۱۴ سانتیمتر H_2O انتخاب شده است.....۸۲
- شکل ۳-۳۳: $\varphi_{\text{epi}}/\varphi_{\text{fast}}$ برای ۹ ماده‌ی مختلف به عنوان کندساز دوم در حالتی که کندساز اول ۱۴ سانتیمتر H_2O انتخاب شده است.....۸۲
- شکل ۳-۳۴: شار نوترون‌های فوق‌گرمایی برای ۹ ماده‌ی مختلف به عنوان کندساز دوم در حالتی که کندساز اول ۲۳ سانتیمتر Teflon انتخاب شده است.....۸۳
- شکل ۳-۳۵: $\varphi_{\text{epi}}/\varphi_{\text{fast}}$ برای ۹ ماده‌ی مختلف به عنوان کندساز دوم در حالتی که کندساز اول ۲۳ سانتیمتر Teflon انتخاب شده است.....۸۳
- شکل ۳-۳۶: شار نوترون‌های فوق‌گرمایی برای ۹ ماده‌ی مختلف به عنوان کندساز دوم در حالتی که کندساز اول ۲۳ سانتیمتر PbF_2 انتخاب شده است.....۸۴
- شکل ۳-۳۷: $\varphi_{\text{epi}}/\varphi_{\text{fast}}$ برای ۹ ماده‌ی مختلف به عنوان کندساز دوم در حالتی که کندساز اول ۲۳ سانتیمتر PbF_2 انتخاب شده است.....۸۴
- شکل ۳-۳۸: شار نوترون‌های فوق‌گرمایی برای ۹ ماده‌ی مختلف به عنوان کندساز دوم در حالتی که کندساز اول ۲۳ سانتیمتر TiF_3 انتخاب شده است.....۸۵
- شکل ۳-۳۹: $\varphi_{\text{epi}}/\varphi_{\text{fast}}$ برای ۹ ماده‌ی مختلف به عنوان کندساز دوم در حالتی که کندساز اول ۲۳ سانتیمتر TiF_3 انتخاب شده است.....۸۵
- شکل ۳-۴۰: شار نوترون‌های فوق‌گرمایی برای ۹ ماده‌ی مختلف به عنوان کندساز دوم در حالتی که کندساز اول ۲۸ سانتیمتر PbF_4 انتخاب شده است.....۸۶
- شکل ۳-۴۱: $\varphi_{\text{epi}}/\varphi_{\text{fast}}$ برای ۹ ماده‌ی مختلف به عنوان کندساز دوم در حالتی که کندساز اول ۲۸ سانتیمتر PbF_4 انتخاب شده است.....۸۶
- شکل ۳-۴۲: شار نوترون‌های فوق‌گرمایی و $\varphi_{\text{epi}}/\varphi_{\text{fast}}$ برای ضخامت‌های مختلف Fe به عنوان فیلتر نوترون‌های سریع برای ترکیب $\text{Al}_2\text{O}_3 + \text{Fluental}$ ۸۸

- شکل ۳-۴۳: شار نوترون‌های فوق‌گرمایی و $\varphi_{\text{epi}}/\varphi_{\text{fast}}$ برای ضخامت‌های مختلف Fe به عنوان فیلتر نوترون‌های سریع برای ترکیب $\text{BeO} + \text{MgF}_2$ ۸۸.....
- شکل ۳-۴۴: شار نوترون‌های فوق‌گرمایی و $\varphi_{\text{epi}}/\varphi_{\text{fast}}$ برای ضخامت‌های مختلف Fe به عنوان فیلتر نوترون‌های سریع برای ترکیب $\text{Teflon} + \text{TiF}_3$ ۸۹.....
- شکل ۳-۴۵: شار نوترون‌های فوق‌گرمایی و $\varphi_{\text{epi}}/\varphi_{\text{fast}}$ برای ضخامت‌های مختلف Fe به عنوان فیلتر نوترون‌های سریع برای ترکیب $\text{TiF}_3 + \text{Fluental}$ ۸۹.....
- شکل ۳-۴۶: سطح مقطع جذب نوترون برای ${}^6\text{Li}$ ۹۰.....
- شکل ۳-۴۷: $\varphi_{\text{epi}}/\varphi_{\text{fast}}$ برای ضخامت‌های مختلف ${}^6\text{Li}$ به عنوان فیلتر نوترون‌های گرمایی ۹۱.....
- شکل ۳-۴۸: شار نوترون‌های فوق‌گرمایی بر حسب شعاع‌های مختلف Pb و Bi به عنوان بازتابنده و موازی‌ساز ۹۳.....
- شکل ۳-۴۹: $\dot{D}_{\gamma}/\varphi_{\text{epi}}$ بر حسب ضخامت‌های مختلف بیسموت به عنوان فیلتر گاما ۹۴.....
- شکل ۳-۵۰: BSA نهایی شبیه‌سازی شده (پیکربندی (a)) بوسیله‌ی کد MCNP ۹۵.....
- شکل ۳-۵۱: طیف نوترون خروجی مربوط به BSA نهایی طراحی شده (پیکربندی (a)) ۹۶.....
- شکل ۳-۵۲: BSA شبیه‌سازی شده بوسیله‌ی کد MCNP بدون استفاده از فیلتر (پیکربندی (b)) ۹۸.....
- شکل ۳-۵۳: طیف نوترون خروجی مربوط به BSA طراحی شده بدون استفاده از فیلتر (پیکربندی (b)) ۹۹.....
- شکل ۳-۵۴: مقدار $\frac{N}{N_0}$ برای شعاع‌های مختلف نیمکره اورانیومی به عنوان تکثیرکننده‌ی نوترون ۱۰۰.....
- شکل ۳-۵۵: هندسه‌ی BSA مربوط به پیکربندی 6-C ۱۰۴.....
- شکل ۳-۵۶: مقدار $\frac{N}{N_0}$ بر حسب شعاع‌های مختلف بیسموت در حالتی که نیمکره‌ی اول حاوی اورانیوم طبیعی به شعاع ۱۰ سانتی‌متر باشد ۱۰۶.....
- شکل ۳-۵۷: هندسه‌ی BSA طراحی شده (پیکربندی (d)) ۱۰۷.....

- شکل ۳-۵۸: طیف نوترون خروجی مربوط به BSA شبیه‌سازی شده (پیکربندی (d)) ۱۰۷
- شکل ۳-۵۹: مقدار $\frac{N}{N_0}$ بر حسب ضخامت ۸ ماده‌ی مختلف به عنوان کنديساز ۱۰۹
- شکل ۳-۶۰: هندسه‌ی BSA طراحی شده (پیکربندی (e)) ۱۱۰
- شکل ۳-۶۱: طیف نوترون خروجی مربوط به BSA شبیه‌سازی شده (پیکربندی (e)) ۱۱۰
- شکل ۳-۶۲: هندسه‌ی BSA طراحی شده (پیکربندی (f)) ۱۱۱
- شکل ۳-۶۳: نمایش سه‌بعدی از BSA شبیه‌سازی شده (پیکربندی (f)) ۱۱۲
- شکل ۳-۶۴: طیف نوترون خروجی مربوط به BSA شبیه‌سازی شده (پیکربندی (f)) ۱۱۲
- شکل ۳-۶۵: شار کل نوترون‌های ناشی از BSA های طراحی شده (پیکربندی‌های (e) و (f)) در فاصله‌ی یک سانتيمتری از دهانه‌ی خروجی و برای فوائل مختلف عمود بر محور BSA ۱۱۳
- شکل ۴-۱: دوز کل رسیده به تومور و بافت سالم بر حسب عمق نفوذ در فانتوم برای طیف ناشی از پیکربندی (a) ۱۲۰
- شکل ۴-۲: مؤلفه‌های مختلف دوز رسیده به فانتوم سر شبیه‌سازی شده بر حسب عمق نفوذ در فانتوم برای طیف ناشی از پیکربندی (a) ۱۲۰
- شکل ۴-۳: دوز کل رسیده به تومور و بافت سالم بر حسب عمق نفوذ در فانتوم برای طیف ناشی از پیکربندی (b) ۱۲۲
- شکل ۴-۴: مؤلفه‌های مختلف دوز رسیده به فانتوم سر شبیه‌سازی شده بر حسب عمق نفوذ در فانتوم برای طیف ناشی از پیکربندی (b) ۱۲۲
- شکل ۴-۵: دوز کل رسیده به تومور و بافت سالم بر حسب عمق نفوذ در فانتوم برای طیف ناشی از پیکربندی (f) ۱۲۴
- شکل ۴-۶: مؤلفه‌های مختلف دوز رسیده به فانتوم سر شبیه‌سازی شده بر حسب عمق نفوذ در فانتوم برای طیف ناشی از پیکربندی (f) ۱۲۵
- شکل ۴-۷: دوز کل رسیده به تومور و بافت سالم بر حسب عمق نفوذ در فانتوم برای طیف ناشی از پیکربندی (f) و برای دو فاصله‌ی مختلف ۱ و ۸

- سانتیمتری فانتوم از دهانه‌ی خروجی BSA ۱۲۶
- شکل ۴-۸: دوز کل رسیده به فانتوم سر شبیه‌سازی شده بر حسب عمق نفوذ
در فانتوم برای طیف ناشی از پیکربندی (f) برای دو فاصله‌ی مختلف ۱ و ۸
- سانتیمتری فانتوم از دهانه‌ی خروجی BSA ۱۲۷
- شکل ۴-۹: دوز کل در عرض فانتوم سر شبیه‌سازی شده برای طیف ناشی
از پیکربندی‌های (e) و (f)
- شکل ۴-۱۰: دوز کل در عرض فانتوم سر شبیه‌سازی شده برای طیف ناشی از
پیکربندی (e) و برای دو فاصله‌ی مختلف قرارگیری فانتوم از دهانه‌ی
- خروجی این BSA ۱۳۰
- شکل ۴-۱۱: دوز کل در عرض فانتوم سر شبیه‌سازی شده برای طیف ناشی از
پیکربندی (f) و برای دو فاصله‌ی مختلف قرارگیری فانتوم از دهانه‌ی
- خروجی این BSA ۱۳۰
- شکل ۴-۱۲: نمایش سه‌بعدی توزیع انرژی در فانتوم سر شبیه‌سازی شده که از
دو مقطع برش داده شده است ۱۳۲
- شکل ۴-۱۳: دوز کل رسیده به فانتوم برای مکان‌های مختلف قرارگیری تومور در مغز ۱۳۳
- شکل ۴-۱۴: دوز کل در عرض فانتوم سر شبیه‌سازی شده برای طیف ناشی از
پیکربندی (f) و برای چهار نسبت مختلف غلظت بور در تومور به بافت سالم ۱۳۴

فهرست جدول‌ها

عنوان جدول	صفحة
جدول ۱-۱: مقایسه‌ی ویژگی‌ها و عملکردهای سلول‌های سالم و سلول‌های سرطانی	۷
جدول ۱-۲: درجه‌بندی تومورهای مغزی و ویژگی‌های آنها	۹
جدول ۱-۳: برخی از مواد رادیواکتیو مورد استفاده در پرتودرمانی داخلی	۱۴
جدول ۱-۴: ضرایب کیفیت برای پرتوهای مختلف	۱۸
جدول ۱-۵: پارامترهای in-air و حدود انرژی وابسته به آنها	۲۷
جدول ۲-۱: شار نوترون‌های فوق‌گرمایی، گرمایی و سریع و مؤلفه‌های دوز وابسته به آنها برای راکتور مورد استفاده در BNCT	۴۰
جدول ۲-۲: نمونه‌هایی از درمان‌های انجام شده به روش BNCT در مرکز درمانی	۴۱
جدول ۲-۳: واکنش‌های هسته‌ای متداول برای تولید نوترون و ویژگی‌های آنها	۴۳
جدول ۳-۱: جرم سه هندسه‌ی طراحی شده در حالت بهینه به عنوان تکثیر‌کننده‌ی نوترون	۶۱
جدول ۳-۲: مشخصات پرتو نوترون خروجی از دهانه‌ی BSA پس از استفاده از بازتابنده و موازی‌ساز	۹۳
جدول ۳-۳: پارامترهای in-air برای پرتو نوترون خروجی از BSA شبیه‌سازی شده (پیکربندی (a)) که هندسه‌ی آن در شکل ۳-۵ نمایش داده شده است	۹۵
جدول ۳-۴: مقایسه‌ی پارامترهای in-air برای BSA شبیه‌سازی شده (پیکربندی (a)) و برخی از کارهای منتشر شده در این زمینه	۹۷
جدول ۳-۵: پارامترهای in-air برای BSA طراحی شده بدون استفاده از فیلتر (پیکربندی (b))	۹۸
جدول ۳-۶: پارامترهای in-air برای آرایش مختلف TiF_3 و Fluental به عنوان کندساز	۱۰۲

جدول ۳-۷: پارامترهای in-air بر حسب ضخامت‌های مختلف Bi به عنوان

فیلتر گاما برای پیکربندی BSA شماره ۲ ۱۰۵

جدول ۳-۸: پارامترهای in-air بر حسب ضخامت‌های مختلف Bi به عنوان

فیلتر گاما برای پیکربندی BSA شماره ۶ ۱۰۵

جدول ۳-۹: پارامترهای in-air برای BSA شبیه‌سازی شده (پیکربندی (d)) ۱۰۸

جدول ۳-۱۰: پارامترهای in-air برای پرتو نوترون خروجی از BSA شبیه‌سازی شده

(پیکربندی (e)) ۱۰۹

جدول ۳-۱۱: پارامترهای in-air برای پرتو نوترون خروجی از BSA شبیه‌سازی شده

برای ضخامت‌های مختلف LiF ۱۱۱

جدول ۴-۱: عناصر مورد استفاده در فانتم شبیه‌سازی شده و درصد وزنی آنها ۱۱۹

جدول ۴-۲: پارامترهای in-phantom محاسبه شده برای طیف ناشی از پیکربندی (a) ۱۲۱

جدول ۴-۳: پارامترهای in-phantom محاسبه شده برای طیف ناشی پیکربندی (b) ۱۲۳

جدول ۴-۴: پارامترهای in-phantom محاسبه شده برای طیف ناشی از پیکربندی (f) ۱۲۵

جدول ۴-۵: پارامترهای in-phantom محاسبه شده برای طیف ناشی از

پیکربندی (f) (فانتم در فاصله‌ی ۸ سانتیمتری از دهانه‌ی خروجی BSA) ۱۲۷

جدول ۴-۶: بیشینه‌ی دوز رسیده به تومور در طول زمان درمان برای مکان‌های

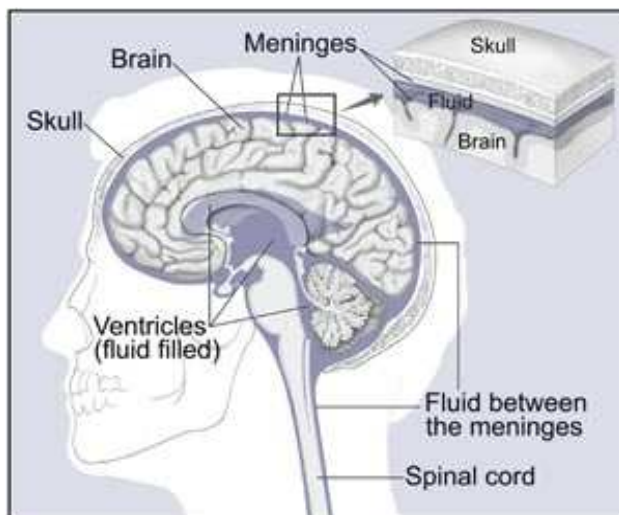
مختلف قرارگیری تومور در فانتم که در شکل ۱۳-۴ نمایش داده شده است ۱۳۳

فصل اول

روش‌های درمان تومورهای مغزی

۱-۱) آناتومی مغز

مغز بافتی نرم و اسفنجی است که بوسیله‌ی جمجمه و سه غشاء نازک به نام منژ^۱ محافظت می‌شود. سیال مایعی به نام مایع نخاعی مغزی^۲ در فضای بین منژ و فضاهای خالی مغز که حفره‌ی مغزی^۳ (بطن) نامیده می‌شوند، جریان دارد. این مایع برای مغز به عنوان ضربه‌گیر عمل می‌کند. وظیفه‌ی انتقال پیام بین مغز و سایر اعضای بدن به عهده‌ی شبکه‌ی عصبی است. برخی از اعصاب مستقیماً از مغز به گوش، چشم و سایر قسمت‌های سر می‌روند؛ سایر اعصاب نیز از طریق نخاع^۴ به اعضای مختلف بدن می‌رسند. سلول‌های گلیال^۵ داخل مغز و نخاع، سلول‌های عصبی را احاطه کرده و آنها را در جای خود نگه می‌دارند. این قسمت‌ها در شکل ۱-۱ نشان داده شده‌اند.



شکل ۱-۱ ساختار مغز

مغز افراد بزرگسال بطور متوسط حدود ۱/۵ کیلوگرم است و حجم آن برای مردان 1260 cm^3 و برای زنان 1130 cm^3 است [۱]. مغز دارای سه بخش مهم است که هر کدام کنترل فعالیت‌هایی را بر عهده دارند. شکل ۲-۱ این سه بخش را نمایش می‌دهد.

¹ Meninges

² Cerebrospinal Fluid

³ Ventricles

⁴ Spinal Cord

⁵ Glial Cells